

J粒子在原子核上的散射

张禹顺 刘宪辉 李扬国

何祚庠

(中国科学院高能物理研究所)

(中国科学院理论物理研究所)

摘 要

本文企图借助于观测J粒子在原子核上的散射来估计J粒子与核子的散射强度。计算结果表明, J粒子在轻核上的散射, 没有出现第二个衍射峰; 而J粒子在重核上的散射出现第二个衍射峰。因此, 我们认为J粒子在重核上的散射实验有可能观测到第二个衍射峰。

一、引 言

NAL 实验室^[1]在分析J粒子在⁹Be核上的光生实验时, 用了三条假设: (i) 矢量为主理论正确; (ii) 计算光生顶点时, 认为由 $k^2 = 0$ 延拓到 $k^2 = 9.6 \text{ GeV}^2$ 时量子电动力学仍然适用; (iii) J粒子朝前散射振幅是纯虚数。由此三条假设可推得J粒子与核子的散射总截面 $\sigma_T(3.1 \text{ GeV} + \text{核子}) \simeq 1 \text{ mb}$ 。用同样的假定, 斯坦福(SLAC)实验室^[4]在分析J粒子在 H_2, D_2 上的光生时, 推得 $\sigma_T(3.1 \text{ GeV} + \text{核子}) \simeq 0.8 \text{ mb}$ 。因此, J粒子是属于强子一类的粒子。一些新的实验也间接地证明, J粒子具有强子的特征。实验上获得有关新强子的数据综合评论见[2]。然而, 尽管如此, 仍然有些问题值得探讨: (i) $k^2 = 0$ 到 $k^2 = 9.6 \text{ GeV}^2$ 的延拓是正确的吗? (ii) 朝前振幅的实部影响如何? (iii) J粒子与核子的散射总截面到底有多大? 等等, 因此, 如果能从观测J粒子在原子核上的多次散射, 就有可能回答上述几个问题。

J粒子在原子核上产生以后, 由于寿命足够长($\sim 10^{-20}$ 秒), 一般穿越原子核后在核外才进行衰变, 因此, 在穿越原子核内部时会与核子发生多次碰撞。这些碰撞, 可以是弹性的, 也可以是各种非弹性的过程。对于弹性散射, 由于它的相干性, 角分布呈现花纹。对于非弹性散射过程, 由于非相干性影响, 它的角分布特点较为复杂。实验上是给出总的光生J粒子的角分布。我们将分析弹性与非弹性的过程, 讨论J粒子与核散射时, 角分布随原子核将有可能出现什么变化。从而有助于确定J粒子与核子的作用强度。

二、散射振幅的形式

由矢量为主理论, 光生截面可以表示成

$$\frac{d\sigma}{dt}(\gamma A \rightarrow JA) = \frac{4\pi}{r_j^2} \frac{d\sigma}{dt}(JA \rightarrow JA). \quad (1)$$

其中 r_j 是与光生顶点有关的常数;由(1)式可以看出,光生 J 粒子实验的角分布形状完全由于 J 粒子在原子核上散射的角分布决定,它与光生顶点并无多大关系。因此,第一步可以暂不考虑光生顶点的计算,直接计算 J 粒子在原子核上的多次散射。用它来分析 J 粒子的实验角分布,反过来推得 JN 散射强度的大小。

在高能粒子散射理论中, Glauber 理论是较为简便和成功的。我们采用 Glauber 方法来计算 J 粒子在原子核上的多次散射^[1]。

对相干散射振幅有

$$F_{el.}(q) = \frac{ik}{2\pi} \int d^2b e^{i\mathbf{q}\cdot\mathbf{b}} \bar{\Psi}_0^* \left[1 - \prod_{j=1}^A (1 - \Gamma_j(\mathbf{b}-\mathbf{r}_j)) \right] \Psi_0 \prod_j d\mathbf{r}_j, \quad (2)$$

其中
$$\Gamma(\mathbf{b}-\mathbf{r}_j) = \frac{1}{2\pi i k} \int e^{i\mathbf{q}\cdot(\mathbf{b}-\mathbf{r}_j)} f_{JN}(q) d^{(2)}q.$$

$f_{JN}(q)$ 是 J 粒子与核子的自由散射振幅。如果用独立粒子模型,核基态波函数表示成

$$\bar{\Psi}_0^* \Psi_0 = \prod_i \rho(\mathbf{r}_i).$$

$\rho(\mathbf{r}_i)$ 是第 i 个核子在核内的密度分布,可以采用由电子散射实验所确定的值。

对于轻核(核子数 $A = 5$ 到 16)

$$\rho(q) = \int e^{i\mathbf{q}\cdot\mathbf{r}_i} \rho(\mathbf{r}_i) d\mathbf{r}_i = \left(1 - \frac{A-4}{6A} a^2 q^2 \right) e^{-a^2 q^2/4}, \quad (3)$$

其中 $a = \frac{1}{\alpha}$ 是谐振子参数,可由实验值决定。

对于中重核($A > 16$)

$$\rho(r) = \rho_0 \frac{1}{1 + e^{(r-c)/a}}. \quad (4)$$

其中 ρ_0 是归一化因子, a, c 是参数由实验确定。

用独立粒子核模型时

$$F_{el.}(q) = \frac{ik}{2\pi} \int d^2b e^{i\mathbf{q}\cdot\mathbf{b}} \left[1 - \prod_{j=1}^A \left(1 - \int \rho(\mathbf{r}_j) \Gamma(\mathbf{b}-\mathbf{r}_j) d\mathbf{r}_j \right) \right], \quad (2')$$

假定 J 粒子与核子散射振幅形式为

$$f_{JN}(q) = \frac{ik}{4\pi} \sigma (1 - iz) e^{-\beta^2 q^2/2} = f(0) e^{-\beta^2 q^2/2}. \quad (5)$$

其中 σ 为 J 粒子与核子散射的总截面, z 为散射振幅虚实比。这样就可以逐项计算(2')式,对于轻核,用(3)、(5)和(2')式计算得弹性散射振幅为

$$F_{el.}(t) = \frac{ik}{2\pi} \sum_{n=1}^A (-1)^{n+1} \binom{A}{n} \left[\frac{f(0)}{2ikQ} \right]^n \left[1 - \frac{d_1}{Q} + \frac{d_1}{Q^2} \frac{\partial}{\partial t} + \frac{\partial}{\partial t} \right]^n \cdot e^{\frac{Q}{n}} \frac{4\pi Q}{n}. \quad (6)$$

其中
$$t = -q^2, \quad Q = \frac{1 + 2\alpha^2 \beta^2}{4\alpha^2} = \frac{a^2 + 2\beta^2}{4},$$

$$d_1 = \frac{A-4}{6A} \frac{1}{\alpha^2} = \frac{A-4}{6A} a^2.$$

$n=1$ 表示一次弹性散射项, $n=2$ 表示二次弹性散射项, 依次类推. 前三次散射项为

$$\begin{aligned} F_{\text{el.}}^{(1+2+3)}(t) = & \frac{ik}{4\pi} \left\{ AW e^{-\rho t} (1 - d_1 t) - \frac{A(A-1)W^2}{32\pi Q} e^{-\frac{\rho}{2}t} \right. \\ & \cdot \left[1 - \frac{d_1}{Q} + \frac{1}{2} \left(\frac{d_1}{Q} \right)^2 - \frac{1}{2} d_1 t + \left(\frac{d_1 t}{4} \right)^2 \right] \\ & + \frac{A(A-1)(A-2)W^3}{32 \times 36\pi^2} e^{-\frac{\rho}{3}t} \\ & \cdot \left[1 - 2 \frac{d_1}{Q} + \frac{5}{3} \left(\frac{d_1}{Q} \right)^2 - \frac{4}{9} \left(\frac{d_1}{Q} \right)^3 - \frac{d_1 t}{3} \left(1 - \frac{2}{3} \left(\frac{d_1}{Q} \right) \right. \right. \\ & \left. \left. + \frac{1}{3} \left(\frac{d_1}{Q} \right)^2 \right) + \frac{(d_1 t)^2}{27} - \frac{(d_1 t)^3}{36} \right] \left. \right\}. \end{aligned} \quad (7)$$

其中 $t = -q^2$, $W = \sigma(1 - iz)$.

对于非相干散射, 对所有终态求和的微分截面为^[3]

$$\frac{d\sigma}{dt} \Big|_{\text{inel}}^{\text{sum}} = \left(\frac{k}{2\pi} \right)^2 \sum_{i \neq j} \left| \int d^2 b e^{i\mathbf{q} \cdot \mathbf{b}} \langle f | \Gamma(\mathbf{s}_1 \cdots \mathbf{s}_A, \mathbf{b}) | i \rangle \right|^2,$$

其中

$$\Gamma(\mathbf{s}_1 \cdots \mathbf{s}_A, \mathbf{b}) = 1 - \prod_i^A (1 - \Gamma(\mathbf{b} - \mathbf{s}_i)). \quad (8)$$

利用波函数的完备性和独立粒子模型得

$$\begin{aligned} \frac{d\sigma}{dt} \Big|_{\text{inel}}^{\text{sum}} = & \left(\frac{k}{2\pi} \right)^2 \int d^2 b d^2 b' e^{i\mathbf{q} \cdot (\mathbf{b} - \mathbf{b}')} \left\{ [1 - \int d^3 r \rho(r) (\Gamma(\mathbf{b} - \mathbf{s}) \right. \\ & + \Gamma^*(\mathbf{b}' - \mathbf{s}) - \Gamma(\mathbf{b} - \mathbf{s}) \Gamma^*(\mathbf{b}' - \mathbf{s}))]^A \\ & - [1 - \int d^3 r \rho(r) (\Gamma(\mathbf{b} - \mathbf{s}) + \Gamma^*(\mathbf{b}' - \mathbf{s}) + \int d^3 r \rho(r) \Gamma(\mathbf{b} - \mathbf{s}) \\ & \left. \times \int d^3 r \rho(r) \Gamma^*(\mathbf{b}' - \mathbf{s}))]^A \right\}. \end{aligned} \quad (9)$$

对方括号进行二项式展开, 可求得多次散射级数, 其中一次散射项为

$$\begin{aligned} \left(\frac{d\sigma}{dQ} \right)_{\text{inel}}^{\text{sum}} (1) = & \left(\frac{k}{2\pi} \right)^2 \int d^2 b d^2 b' e^{i\mathbf{q} \cdot (\mathbf{b} - \mathbf{b}')} A \left\{ \int d^3 r \rho(r) \Gamma(\mathbf{b} - \mathbf{s}) \right. \\ & \cdot \Gamma^*(\mathbf{b}' - \mathbf{s}) - \int d^3 r \rho(r) \Gamma(\mathbf{b} - \mathbf{s}) \int d^3 r \rho(r) \Gamma^*(\mathbf{b}' - \mathbf{s}) \left. \right\} \\ = & A |f(q)|^2 (1 - \rho^2(q)). \end{aligned} \quad (10)$$

二次散射项为

$$\begin{aligned} \left(\frac{d\sigma}{dQ} \right)_{\text{inel}}^{\text{sum}} (2) = & - \left(\frac{k}{2\pi} \right)^2 \left(\frac{A}{2} \right) \int d^2 b d^2 b' e^{i\mathbf{q} \cdot (\mathbf{b} - \mathbf{b}')} [2(\bar{\Gamma} + \bar{\Gamma}^*) \\ & - \bar{\Gamma} \bar{\Gamma}^* + \bar{\Gamma} \bar{\Gamma}^*] [\bar{\Gamma} \bar{\Gamma}^* - \bar{\Gamma} \bar{\Gamma}^*]. \end{aligned} \quad (11)$$

其中

$$\bar{\Gamma} = \int d^3 r \rho(r) \Gamma(\mathbf{b} - \mathbf{s}), \quad \bar{\Gamma}^* = \int d^3 r \rho(r) \Gamma^*(\mathbf{b}' - \mathbf{s}),$$

$$\overline{\Gamma\Gamma^*} = \int d^3r \rho(r) \Gamma(b-s) \Gamma^*(b'-s).$$

对于轻原子核, 由于密度分布取 (3) 式, 求和非相干散射的一二次项可以得到解释表示式, 但对于较重的核, 密度分布用 (4) 式, 一般只能数字积分.

三、计算结果与讨论

对于轻原子核我们计算了以 ${}^9\text{Be}$, ${}^{12}\text{C}$, ${}^{16}\text{O}$ 为靶的光生 J 粒子散射微分截面, 用式(7)、(10)、(11). 假定 J 粒子与核子的散射振幅形式如式 (5), 其中参数取为

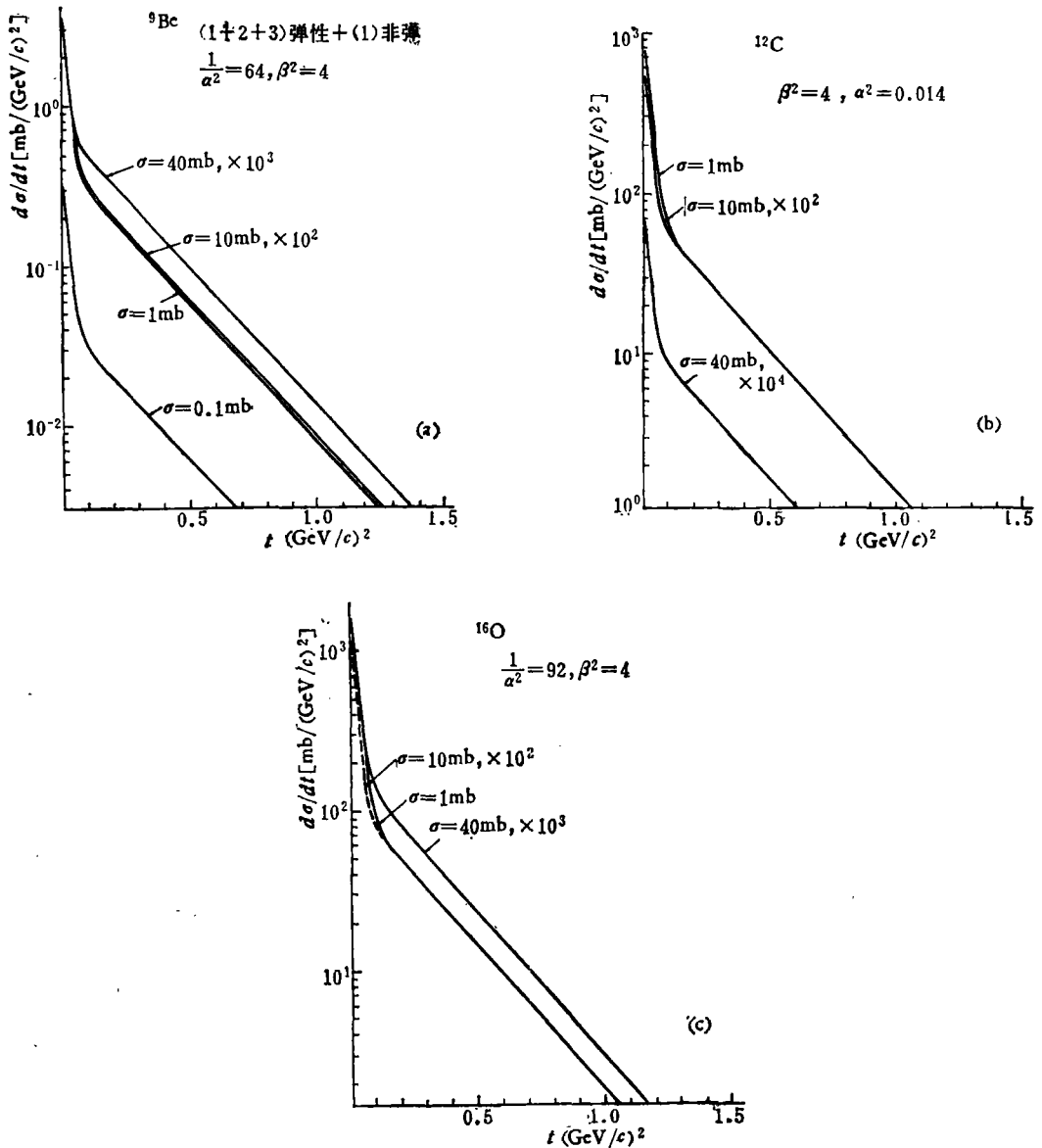


图 1

$$\beta^2 = 4, 3 \left(\frac{c}{\text{GeV}} \right)^2$$

$$\sigma = 0.1, 1, 10, 20, 30, 40 \text{ mb}$$

$$z = 0, 0.1, 0.5, 10.$$

σ 和 z 是用来调节的参数, $t = -q^2$ 取 30 个点, 从 0 到 $1.5 (\text{GeV}/c)^2$, 每步为 0.05. 为了比较, 对轻核、密度分布仅取高斯型, 计算了各组数值. 我们挑选了若干组数据绘图进行分析, 有如下结果:

1. 散射截面角分布随 σ 的变化, 见图 1 (a) 1 (b) 和 1 (c). 在 $\sigma = 0.1 \sim 40(\text{mb})$ 之间角分布是平滑的, 没有出现相干峰谷. 原因是非相干散射太强, 相干散射的干涉现象被淹没了. 当 σ 大时, 相干散射级数收敛很慢, 高次散射不可忽略.

图 2 给出了 ${}^9\text{Be}$, ${}^{12}\text{C}$, ${}^{16}\text{O}$ 三个靶核散射截面角分布的比较图. 从计算的结果得知 $t > 0.1 (\text{GeV}/c)^2$, 主要来自非相干散射的贡献, 其大小值正比于 A . 但必须指出, 当 σ 大时, 高次散射项也非常重要, 必须计算进去.

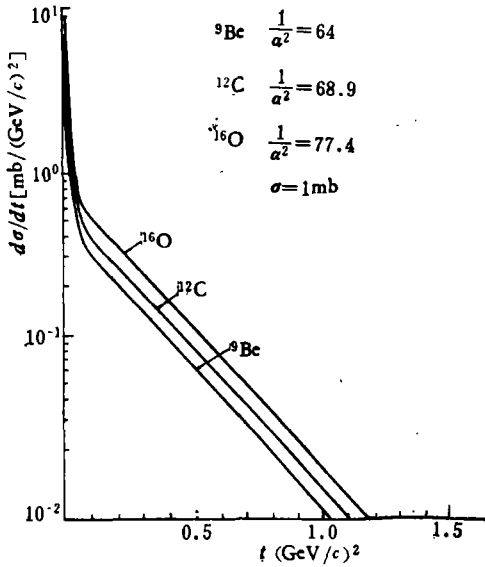


图 2

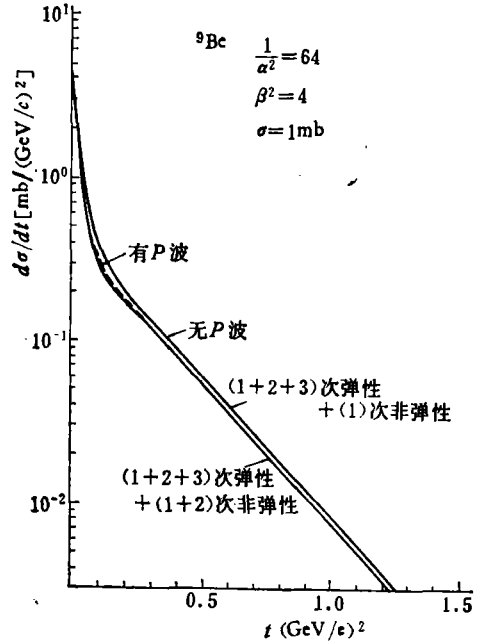


图 3

图 3 给出了 ${}^9\text{Be}$ 为靶的角分布, 核密度用高斯型(即不带 P 波的贡献)和用 (2) 式(带 P 波贡献)的比较, 可以看到, 核密度 P 波成份的贡献在朝前小角度有点影响, 在大角度无影响. 图 3 虚线所示为带 P 波的贡献.

2. 图 4 给出 JN 散射振幅实部为 0 和不为 0 时角分布的比较. 对于 $\sigma = 1 \text{ mb}$ 的情况(图 4(a)) 由于高次散射不重要, 实部对角分布形状影响并不大, 在 $t \sim 0.1$ 以后, 只改变截面的绝对值的大小. 图 4b 所示的是 $\sigma = 10 \text{ mb}$ 的情况, 它与 $\sigma = 1 \text{ mb}$ 的情况相似, 曲线形状不变, 仅仅位置向上移两个数量级.

由于二方面的原因: 1. 实部是与 z^2 有关, 当 $z = 0.5$ 时, $z^2 = 0.25$, 比 1 小很多;

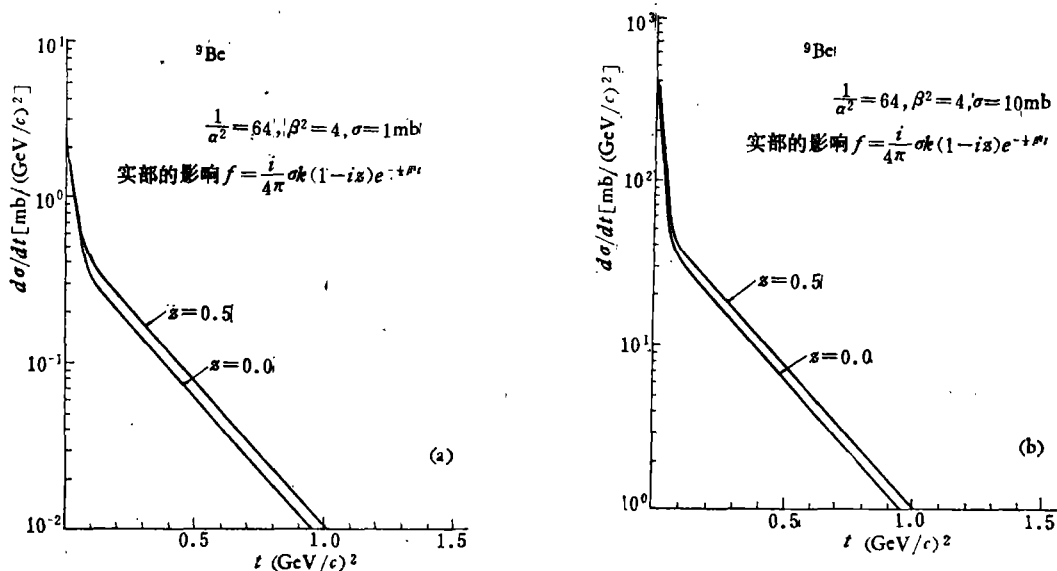


图 4

2. 非相干散射太强, 都使得实部对角分布形状无重要的影响。

3. 由于 NAL 实验室是用冲量近似去符合 J 粒子在 ⁹Be 上光生实验资料, 得到相干散射项指数因子为 40, 根据 ⁹Be 的由电子散射定的核密度分布参数, 这个值取 36 更好一些。

结论是: 以轻核为靶的光生 J 粒子的散射, 不可能观测到第二个相干散射峰。

对于重原子核, 我们计算了 ⁶⁴Cu, ²⁰⁸Pb, ²³⁸U。图 5 给出了 ⁶⁴Cu, ²⁰⁸Pb, ²³⁸U 三个靶核的散射截面角分布。其中 $\sigma = 1\text{mb}$, 而 (4) 式中的参数分别取如下数值

对 ⁶⁴Cu₂₉ $a = 0.5023$, $C = 4.08$,

$\rho_0 = 0.003058$;

对 ²⁰⁸Pb₈₂ $a = 0.6364$, $C = 6.4$,

$\rho_0 = 0.0008297$;

对 ²³⁸U₉₂ $a = 0.7273$, $C = 6.7$,

$\rho_0 = 0.000711$ 。

从图 5 可以看出, 当 $t = 0.05(\text{GeV}/c)^2$ 附近出现谷, 当 $t = 0.1(\text{GeV}/c)^2$ 附近出现第二个峰。而且不管是 ⁶⁴Cu 还是 ²⁰⁸Pb 其谷峰的形状对 t 来讲都差不多, 只是 ²⁰⁸Pb 比 ⁶⁴Cu 的位置高一些而已。

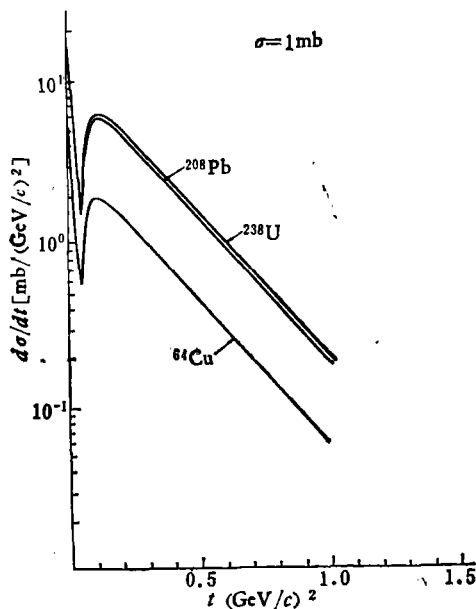


图 5

选取较重的核作靶, 因为相干散射随 A 的增加比非相干散射快 A 倍, 因此, 当 A 增加

时,相干散射项相应的显示了它的重要性。另一方面,当 A 增大时,高次散射也变得重要起来,相干二次散射比一次散射增加 A^2 倍,从而,使第二个相干散射峰出现。

从上可知, J 粒子与轻核的散射, 没有出现第二个相干散射峰; 而 J 粒子与重原子核的散射出现了第二个相干散射峰。因此, 我们认为在重原子核为靶的光生 J 粒子实验中有可能观测到第二个相干散射峰。从而根据峰的大小来估计 J 粒子与核子的散射截面。

4. 在上述的计算基础上, 还可以作进一步的计算:

(i) 利用两个靶核 A_1, A_2 测量的截面之比值, 消去光生顶点常数来估计 σ :

$$\frac{\sigma(rA_1)}{\sigma(rA_2)} = \frac{\sigma(JA_1)}{\sigma(JA_2)} = F(\sigma).$$

(ii) 利用

$$\left. \frac{d\sigma}{dt} \right|_{rA} = \frac{4\pi}{r^2} \left[\left(\frac{d\sigma}{dt} \right)_{JA}^{el} (1+2+3 \text{ 次项}) + \left(\frac{d\sigma}{dt} \right)_{JA}^{incl} (\text{总的求和非相干散射}) \right]$$

求它的极值位置和大小, 与实验的第一、二个峰的位置和高度、第一个谷的位置和深度进行比较来估计 σ 值。

(iii) 利用

$$\left(\frac{d\sigma}{dt} \right)_{rA} / \left(\frac{d\sigma}{dt} \right)_{rA} (\theta=0) \Big|_{\text{实验}} = \left(\frac{d\sigma}{dt} \right)_{JA} / \left(\frac{d\sigma}{dt} \right)_{JA} (\theta=0) \Big|_{\text{理论}}$$

关系式来估计 σ 值。

目前光生 J 粒子在重原子核上的散射实验还没有。为了探讨 J 粒子与核子的散射截面, 以及 J 粒子的某些性质。我们期望实验工作者做光生 J 粒在重原子核上的散射实验。

参 考 文 献

- [1] B. Knapp, W. Lee et al., *Phys. Rev. Lett.*, **D34**(1975), 1040.
 [2] T. G. Trippe et al., *Phys. Lett.*, **68B**(1977), 1.
 [3] R. J. Glauber, *Lecture in Theoretical Physics*, Vol. 1(1959), 315.
 [4] A. M. Boyarski et al., *Phys. Rev. Lett.*, **34**(1975), 1357.

J PARTICLE-NUCLEUS SCATTERING

ZHANG YU-SHUN LIU XIAN-HUI LI YANG-GUO

(*Institute of High Energy Physics, Academia Sinica*)

HE ZUO-XIU

(*Institute of Theoretical Physics, Academia Sinica*)

ABSTRACT

Basing on the J particle-nucleus scattering, the J particle-nucleon scattering strength is estimated. The calculation result shows that for the scattering on light nucleus, there is no second diffractive maximum, but on heavy nucleus, there is a second diffractive peak. The possibility of the experimental test is briefly discussed.